

北 大 正 貞 ○ 森 明 亘  
北 大 翁 岸 力  
東北電力 佐々木哲郎

1. はじめに 前回<sup>(1)</sup>と同様に移動床流れにおける流速、砂面、水面の変動を測定し、それらの統計的な特性を調べた。実験水路は長さ 20m、巾 1m である。砂面及び水面変動は水路下流端より 1m の水路中央で砂面計を用い 20 秒毎に測定した。流速変動は砂面計より左岸より 18 cm、平均河床より 9 cm 地点で直徑 18 mm の小型プロペラ流速計を用い 1 秒毎に測定した。測定は、始め 7 時間通水し河床波が充分発達したと思われる時刻より 10 時間行った。実験条件は、水頭勾配  $I = 1/500$ 、平均水深  $H = 14.8 \text{ cm}$ 、平均流速  $\bar{U} = 67.4 \text{ cm/sec}$ 、 $Fr = \bar{U}/\sqrt{gH} = 0.50$ 、河床砂平均粒径  $d_{50} = 0.03 \text{ mm}$  であった。(RUN-23) 河床形状は、図-1 に示された様に左岸、黒木<sup>(2)</sup>の方法によると dune と思われる。

2. 砂面変動と、水面変動との特性 図-2 に左、右スペクトラム  $S_g(f)$ 、 $S_s(f)$  が示され<sup>(3)</sup>いる。日野<sup>(4)</sup>は、左のスペクトラムに慣性領域の存在を仮定し、次元解析より (1) 式を得た。

$$S_g(f) \propto f^{-2}, f_0 < f < f_1; \quad S_g(f) \propto f^{-3}, f_1 < f \quad (1)$$

図-2 中に実線で示される様に (1) 式で近似される領域が認められた。  
 $f > 0.02 \text{ herz}$  では  $S_g(f) \propto f^{-2} \sim f^{-3}$  であり、ripple に対応するものと思われる。

図-3 に左、右のそれらの標準偏差の比  $\sigma_g/\sigma_s$  と  $F = \bar{U}/\sqrt{gH}$  の関係が示され<sup>(5)</sup>いる。図中に示され<sup>(3)</sup>る実線は (2) 式である。

$$\sigma_g/\sigma_s = F^2/1-F^2 \quad (2)$$

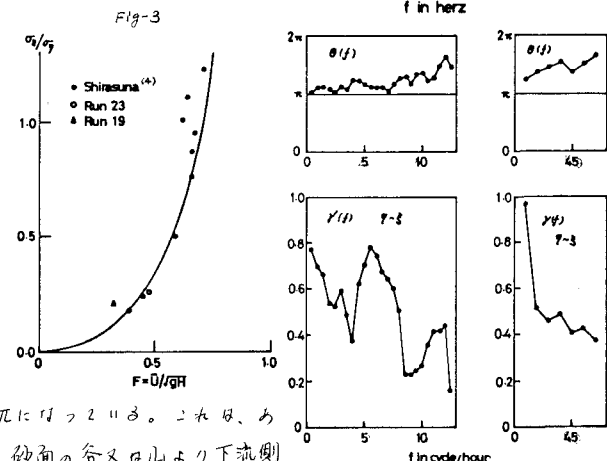
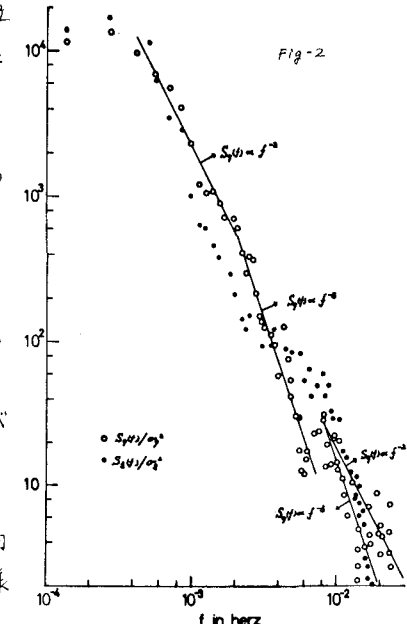
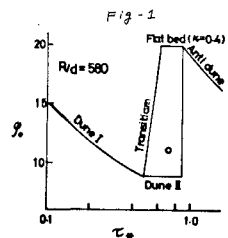
Kennedy<sup>(6)</sup>は、移動床上の流れに 2 次元 potential flow を仮定し、砂面と水面の形に正弦波とすると、それらの振巾比  $A(t)/a(t)$  と (3) 式の様に導びいた。

$$A(t)/a(t) = F^2 H / (F^2 H - \tanh kH) \cosh kH \quad (3)$$

左、右は、図-2 からわざと様に低周波領域で大きなエネルギーを持つ<sup>(3)</sup>。そこで、(3) 式が  $F \rightarrow 0$  で成立するとし、 $kH \approx 0$ 、 $|A(t)/a(t)| \approx \sigma_g/\sigma_s$  とすると (3) 式は (2) 式で近似される。

図-4 に左、右のコヒーレンシー  $\theta(f)$ 、位相差  $\phi(f)$  が示され<sup>(7)</sup>いる。図によると左と右は比較的広い  $f$  の範囲で相関を持ち<sup>(8)</sup>いる。位相差は、ごく低周波の領域では  $\theta \approx \pi$  であるが、 $\theta$  は  $f$  の増加とともに増加し、 $f \approx 1 \text{ cycle/hr}$  では  $\theta \approx \frac{1}{2}\pi$  にはなつ<sup>(9)</sup>。これは、ある周波数成分の変動によりて、水面の山又は谷が、砂面の谷又は山より下流側

にあることを意味する。同様な傾向が、図-4 中に示された様に他の水理条件でも見られた<sup>(10)</sup>。



## 2. 移動床流れにおける流速変動の特性と、

その関係 図-5は川のスペクトル  $P_{uu}(f)$  を示す。黒丸は、川に3.3秒の移動平均を施したものから求めたものであり、白丸は、川から60秒以下の低周波成分をcutし、切り取り中央5.6秒でshort time spectrumを計算し、その平均値から求めたものである。図中の実線は、図-2中に示されたものと同一のものである。図より、川の低周波成分が河床波の移動による平均流の変化によるものであることがわかる。一方、 $f > 0.02 \sim 0.03$  herzでは、河床波の振幅は著しく近くとなり、乱流境界層による乱れの領域と考えられる。

乱流境界層の乱れの特性を次の数値方法で調べた。それは、川に比べ時間的にゆっくり変化する。従って、ある微小時間  $\Delta T$  を考えると、 $\Delta T$  内では川はその時の河床形状に対する近似的に定常な乱れを見出すことができる。今、 $\tilde{u}$ 、 $U_0$  を(4)式の様に定義すると、それを近似

$$\tilde{u}(t) = \frac{1}{\Delta T} \int_{t-\frac{\Delta T}{2}}^{t+\frac{\Delta T}{2}} u(t') dt', \quad U_0(t) = \frac{1}{\Delta T} \int_{t-\frac{\Delta T}{2}}^{t+\frac{\Delta T}{2}} [u(t') - \tilde{u}(t')]^2 dt' \quad (4)$$

的にある河床形状に対する流速測定点での平均流速、乱れのエネルギーとみなすことができる。本報告では、図-5の結果より  $\Delta T = 40$  秒とした。ところが、それを用いた乱流構造は、そのときの河床形状に依存するが測定を長時間行なうと、任意の場の乱流構造が類似する様な境界条件が何時か発生するであろう。この様な境界条件を判定するのに  $U_0$  を用いるのは  $U_0$  に比べ河床形状との対応性（従が、この乱流構造との対応性は良くないと思われる）ある範囲の  $U_0$  と  $u$  の間ににつき、Short time spectrum の平均値を求めた。得られた結果が図-6に示される。図からわかる様に  $U_0 > 40$  と  $U_0 \leq 40$  では、乱流構造に大きな違いが認められた。

表-1

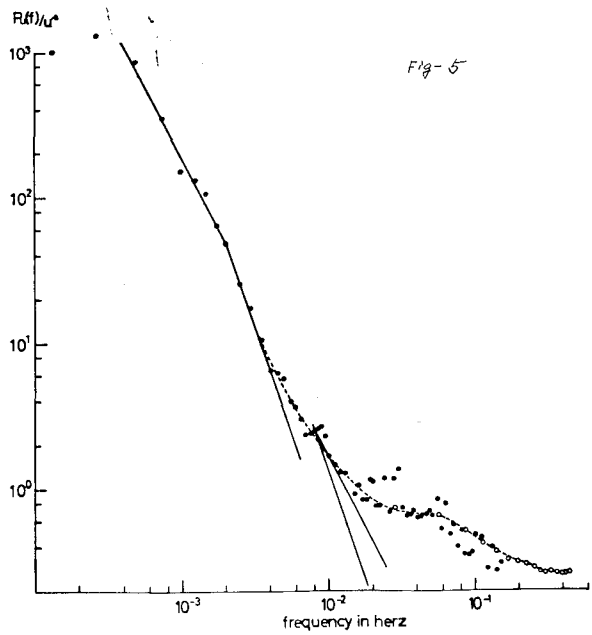


Fig-5

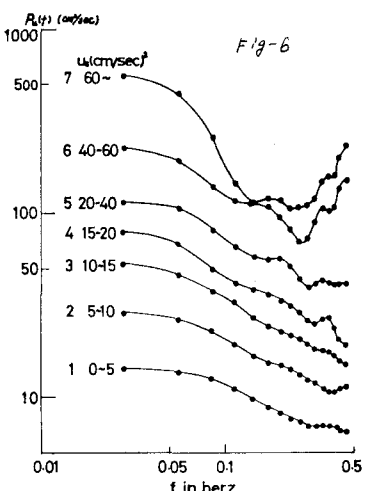


Fig-6

$U_0 > 40$  では、流速変動は特殊の構造をしており、Allen<sup>(4)</sup>によると次の様に解釈される。河床波の crest 下流域において、自由流線近傍の速度の遅がうの間に、Helmholtz instabilityにより crest より規則的な大きな渦の剥離が起り、crest のすぐ下流では、流速変動は規則的であり周波数成分が卓越する。

それぞれの  $U_0$  の Macro scale と水深の比  $L_x/H = U_0 T_e / H$  のおおよその値を次の様にして求めた。（ $U$ 、 $H$ は、それ

NO	$U_0$ 范囲	区間数	$\bar{u}_0$	$U$	$H$	$T_e$	$L_x/H$
1	0~5	288	4.05	82.8	13.8	0.88	5.3
2	5~10	748	7.32	78.0	14.5	0.98	5.3
3	10~15	383	12.10	74.5	15.3	1.10	5.3
4	15~20	137	17.00	72.9	15.9	1.16	5.3
5	20~40	87	26.77	69.1	15.7	1.07	4.7
6	40~60	11	50.09	60.8	15.1	1.13	4.5
7	60~	14	92.20	59.5	21.0	1.50	3.8

それぞれの  $U_0$  の平均流速、平均水深である。流速変動のエネルギーを  $E = P_{uu}/U^2$  とする。 $E \approx 2\%$ 。  
 $P_{uu}(f=0.028 \text{ herz})$  とし、表-1に示す様な結果が得られた。今回の測定では、川の記録は1秒の平均値であるので  $f > 1 \text{ herz}$  の成分は cut された。今、 $f > 0.5 \text{ herz}$   $P_{uu}(f) \propto f^{-0.3}$  と仮定し、 $E$  を概算すると実測値の2倍程度となる。このことを考慮すると、移動床流れにおける乱流境界層の乱れは  $L_x/H \approx 2$  程度と推定さ

れ、自然河川で得られた結果<sup>(7)</sup>と同程度の大きさである。

図-7に  $U_s \leq 40$  のときのそれそれの区間のスペクトラムを  $P_{ff}$ ,  $T_E$  で基準化したものが示されている。図によると、 $P_{ff}(f)$  は  $f$  のかなり広い範囲で  $P_{ff}(f) \propto f^{-0.5}$  で近似され、自然河川で得られたものと幾分違がった傾向を示すことがある。この記録は、物の平均値かあれば aliasing の効果を考慮するとスペクトラムの形にそれはどうも影響はないと思われる。(Fig-5 参照) Bradshaw & Wong<sup>(8)</sup> は、flat plate 上に種々の obstacle を置いた乱流境界層に衝突の実験を指摘した。「obstacle 下流の剥離域における、乱流する量が多い」とされ、「存在する大きな渦は Reattachment point における 2 ヶ所に分割され、乱流構造は大きく変化し、その影響はかなり下流まで持続する。」 Cramer<sup>(9)</sup> は、大気乱流において地表付近で  $P(f) \propto f^{-n}$ ,  $n < 5/3$  となる原因を「地表から、地表粗度の 1~10 倍程度の高さでは、大きな渦は障害物により小さな渦に分解されやすく、低周波領域から高周波領域へエネルギーが輸送されたため」としている。又、Allen<sup>(10)</sup> は、「crest 下流で発生する規則的な大きな渦(vortices)は、流下とともに小さな渦に分解され乱れの要素となる」と述べている。これらのこと考慮すると図-7 に示された様な乱流構造は充分まり得るものと思われる。この様な傾向は、自分の実験<sup>(4)</sup>、芦田らの実験<sup>(11)</sup>、及び洪水時ににおける自然河川での測定<sup>(12)</sup>、著者らの他の水理条件での実験(Fig-8)におりても見られた。

図-9 は  $\tilde{U}$ ,  $U_s$  間の  $\beta(f)$ ,  $\theta(f)$  が示されている。図によると  $\tilde{U}$ ,  $U_s$  は  $f$  のかなり広い範囲にわたって相関をもつていて、 $\theta(f)$  は平均して  $\pi/4$  よりやや小さい。図-10, 11 に  $\tilde{U}$ ,  $U_s$  とき、きの相関がそれを示されている。これららの相関は、どの測定点とど、どの測定点が違うため、高周波領域では信頼性は乏しい。お、よとの傾向をみると、低周波領域におりて相関が大きく、河床が谷のとき流速は小さく、乱流強度が大きくなることがわかる。

4. おわりに 図-3, 4, 10 の結果は、河床波が充分発達した流れにおいて、卓越波長に対応する低周波領域では、流れを 2 次元 potential flow で近似できる可能性を示している。

乱流境界層の乱れの構造は、流れの剥離の影響を大きく受けている代り、より高周波領域の乱れを測定し、その構造をより明確にし、流砂の mechanism を調べる基礎とした。

実験及びデータの整理には、当時本学学生渡辺道君の熱心な協力を得た。ここに、記して謝意を表します。

参考文献 1) 岸、森、黒木；土木学会誌 27 回年譲, II-130, 1973.  
2) 岸、黒木；北大工学部研究報告第 67 号, PP 1~23, 1973. 3)

日野；東工大土木工学科研究報告 NO.4, PP 30~34, 1968. 4) 白砂；電研報告 NO.72003, 1972. 5) Kennedy; Ann. Rev. Fluid Mech. vol.1 pp 147~168, 1969. 6) Allen; Current Ripples, pp 13~16, pp 222~226, 1968. 7) 岸、森、佐々木；土木学会誌 27 回年譲 II-97, 1973.

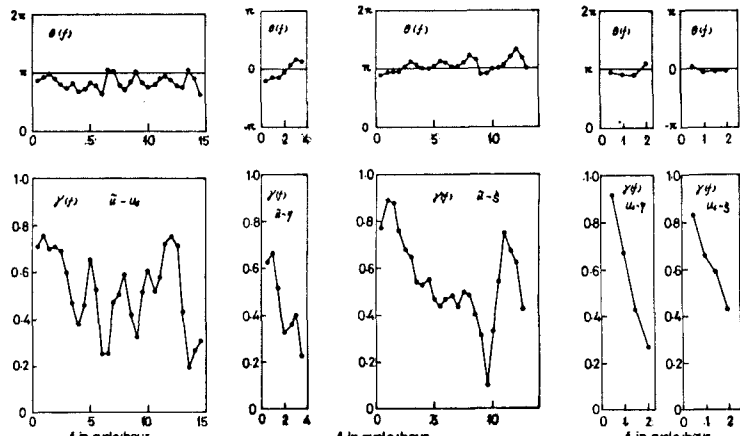


Fig-9

Fig-10

Fig-11

8) Bradshaw & Wong; J. F. M. vol. 52 pp 12~18, 1972. 9) Cramer; Meteo. Monog. vol. 4, pp 12~18, 1960.  
10) 芦田他；京大防災研年報第 12 号 B pp 449~462, 1969. 11) 芦田他；京大防災研年報第 13 号 B pp 1~11, 1970.